

4. Ideale Systeme

Ideale Systeme sind Systeme nicht-wechselwirkender Teilchen im tl.

Gleichgewicht. (Achtung: Damit ein Gleichgewichtszustand erreicht werden kann, muss eine schwache Rest-Wechselwirkung existieren!)

4.1. Zwei-Niveau-Systeme

Wir betrachten ein System aus N (orthofersten!) Spins $s = \frac{1}{2}$

im Magnetfeld B (allgemein: Zwei-Niveau-Systeme).

Das System besitzt 2^N verschiedene individuelle Spin-Anordnungen, d.h. 2^N

Mikrountände. Das gesamte magnetische Moment ist

$$M = \mu_0 \sum_{i=1}^N \sigma_i, \quad \sigma_i = \pm 1, \quad \mu_0 \text{ = Moment eines Spins.}$$

Ein Zustand mit gegebenem magnetischen Moment M_{geo} , d.h.

$$\frac{1}{2}(N+m) \text{ Spins } \uparrow \text{ und } \frac{1}{2}(N-m) \text{ Spins } \downarrow,$$

wird als Makrountand bezeichnet; ein Makrountand wird i.a. durch viele Mikrountände realisiert.

Für die Energie gilt:

$$\bar{E} = -MB = -m\mu_0 B = -\mu_0 B \sum \sigma_i \quad (m = -N, \dots, N)$$

a) Abgeschlossenes System (mikrokanonisch)

E ist vorgegeben. \rightsquigarrow Makrountand (d.h. Magnetisierung) fest.

Anzahl der möglichen Mikrountände:

$$\Omega(N, m) = \binom{N}{\frac{1}{2}(N+m)} = \frac{N!}{(\frac{N+m}{2})! (\frac{N-m}{2})!}$$

Im td. Gleichgewicht gilt für die Wahrscheinlichkeiten der möglichen Mikrozustände

$$w_i = \frac{1}{\Omega(N, m)} = \text{const}$$

Für den Mittelwert eines Spins (z.B. σ_1) folgt:

$$\langle \sigma_1 \rangle = \frac{1}{\Omega(N, m)} \left(N(\sigma_1 = +1) - N(\sigma_1 = -1) \right)$$

wobei $N(\sigma_1 = \pm 1)$ die Anzahl der Mikrozustände mit $\sigma_1 = \pm 1$ berechnet.

Es gilt

$$N(\sigma_1 = \pm 1) = \Omega(N-1, m \mp 1)$$

und damit

$$\langle \sigma_1 \rangle = \frac{\Omega(N-1, m-1) - \Omega(N-1, m+1)}{\Omega(N, m)} = \frac{m}{N}$$

Analog kannen sich Korrelationsfunktionen berechnen: Für das Produkt $\langle \sigma_1 \sigma_2 \rangle$

gilt

$$\begin{aligned} \langle \sigma_1 \sigma_2 \rangle &= \frac{\Omega(N-2, m-2) + \Omega(N-2, m+2) - 2 \Omega(N-2, m)}{\Omega(N, m)} \\ &= \frac{m^2 - N}{N(N-1)} \quad \left(= \frac{\Omega_{11} + \Omega_{22} - \Omega_{12} - \Omega_{21}}{\Omega} \right) \end{aligned}$$

Die Korrelationsfunktion von σ_1 und σ_2 ist üblicherweise definiert als

$$\begin{aligned} \langle (\sigma_1 - \langle \sigma_1 \rangle)(\sigma_2 - \langle \sigma_2 \rangle) \rangle &= \langle \sigma_1 \sigma_2 \rangle - \langle \sigma_1 \rangle \langle \sigma_2 \rangle \\ &= \left(\left(\frac{m}{N} \right)^2 - 1 \right) \frac{1}{N-1} \xrightarrow{N \rightarrow \infty} 0 \end{aligned}$$

Bem: Die Spins sind Wechselwirkungsfrei (!); Korrelationen entstehen durch die Nebenbedingung $E = \text{const.}$

6) System im Wärmegleich (kanonisch)

Dichteoperator

$$\hat{S}_K = \sum_n w_n |n\rangle\langle n|,$$

wir wählen als Basiszustände $|n\rangle$ die mit gegebener Spinkonfiguration,

$|n\rangle = |\sigma_1, \sigma_2, \dots, \sigma_N\rangle$. Es folgt:

$$w_n = \frac{1}{Z_K} e^{-E_n/kT} = \frac{1}{Z_K} \exp\left(\frac{\mu_0 B}{kT} \sum_{i=1}^N \sigma_i\right)$$

$$\underline{Z_K} = \sum_{\{\sigma_i\}} \exp\left(\frac{\mu_0 B}{kT} \sum_{i=1}^N \sigma_i\right) = \underline{(Z_1)^N},$$

wobei Z_1 die Zustandssumme eines Spins darstellt:

$$\underline{Z_1} = \sum_{\sigma=\pm 1} \exp\left(\frac{\mu_0 B}{kT} \sigma\right) = 2 \cosh \frac{\mu_0 B}{kT}$$

Beachte: $\underline{Z_K} = \underline{(Z_1)^N}$ gilt für wechselwirkungsfreie, lokalisierte
(d.h. unterscheidbare) Objekte.

Die Wahrscheinlichkeit $w_n = w_{\{\sigma_i\}}$ faktorisiert also,

$$w_{\{\sigma_i\}} = \prod_{i=1}^N \frac{1}{Z_1} \exp\left(\frac{\mu_0 B}{kT} \sigma_i\right)$$

Es folgt unmittelbar

$$\langle \sigma_i \sigma_j \rangle = \langle \sigma_i \rangle \langle \sigma_j \rangle \rightsquigarrow \langle (\sigma_i - \langle \sigma_i \rangle)(\sigma_j - \langle \sigma_j \rangle) \rangle = 0 \quad \forall i \neq j.$$

Für Mittelwert und Schwankung gilt:

$$\langle \sigma_i \rangle = \frac{1}{Z_1} \sum_{\sigma_i=\pm 1} \sigma_i \exp\left(\frac{\mu_0 B}{kT} \sigma_i\right) = \tanh\left(\frac{\mu_0 B}{kT}\right)$$

$$(\Delta \sigma_i)^2 = \langle (\sigma_i - \langle \sigma_i \rangle)^2 \rangle = 1 - \langle \sigma_i \rangle^2 = \left[\cosh\left(\frac{\mu_0 B}{kT}\right)\right]^{-1}$$

Für den Gesamtspin $\sigma^{(v)}$ einer Gruppe von v Spins folgt:

$$\sigma^{(v)} = \sum_{i=1}^v \sigma_i, \quad (\Delta \sigma^{(v)})^2 = v (\Delta \sigma)^2 \quad (\text{zu Hause!})$$

$$\rightsquigarrow \text{relative Schwankung } \frac{\Delta \sigma^{(v)}}{\langle \sigma^{(v)} \rangle} = \frac{1}{\sqrt{v}} \frac{\Delta \sigma}{\langle \sigma \rangle} \xrightarrow{v \rightarrow \infty} 0.$$

c) Thermodynamik

In der mikrokanonischen Gesamtheit erhält man die Entropie

$$S(E) = k \ln \Omega(N, m) \stackrel{!}{=} -k \left(\frac{N+m}{2} \ln \frac{N+m}{2N} + \frac{N-m}{2} \ln \frac{N-m}{2N} \right)$$

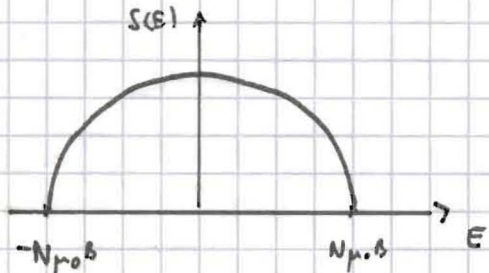
$N! = \left(\frac{N}{e}\right)^N$

mit $E = -m\mu_0 B$ und $-N < m < N$.

Nun folgt aus $dU = TdS$:

$$\frac{dS}{dE} = \frac{1}{T} \begin{cases} > 0 & \text{für } E < 0 \\ < 0 & \text{für } E > 0 \end{cases} \quad !!$$

..



Explizit:

$$\frac{1}{T} = \frac{\partial S}{\partial E} = -\frac{1}{\mu_0 B} \frac{\partial S}{\partial m} = \frac{k}{2\mu_0 B} \ln \left(\frac{1+m/N}{1-m/N} \right) = \frac{k}{2\mu_0 B} \ln \left(\frac{1 - \frac{E}{N\mu_0 B}}{1 + \frac{E}{N\mu_0 B}} \right)$$

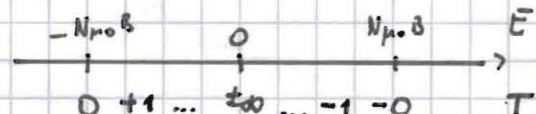
In der kanonischen Gesamtheit ergibt sich für gegebenes T :

$$E = -N\mu_0 B \langle \sigma \rangle = -N\mu_0 B \tanh \frac{\mu_0 B}{kT},$$

in Übereinstimmung mit dem mikrokan. Resultat.

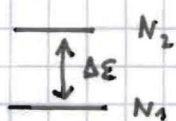
Offenbar ist es möglich (und sinnvoll!), negative tot. Temperaturen einzuführen; dies bedeutet, dass höherenergetische Niveaus stärker besetzt sind als niedrigenergetische:

"Besetzungs inversion".



Umgekehrt kann man aus bekannten Besetzungszahlen für 2 Niveaus gegebener Energie die effektive Temperatur definieren:

$$\frac{N_2}{N_1} = \frac{w_2}{w_1} = e^{-\Delta E/kT_{eff}}$$



Besetzungs inversion spielt bei Lasern und bei Kernspinsystemen eine wichtige Rolle.

In der harmonischen Gesamtheit erhält man weiter die freie Energie:

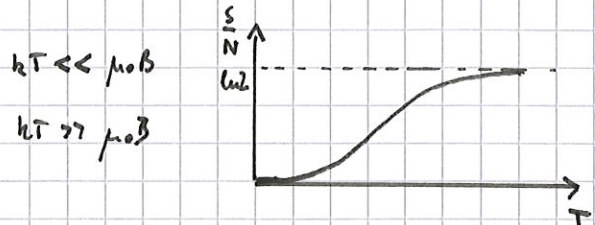
$$F(T) = -kT \ln Z_N = -NkT \ln \left(2 \cosh \frac{\mu_0 B}{kT} \right)$$

Es folgt

$$S(T) = -\frac{\partial F}{\partial T} = Nk \left(\ln \left(2 \cosh \frac{\mu_0 B}{kT} \right) - \frac{\mu_0 B}{kT} \tanh \frac{\mu_0 B}{kT} \right)$$

~

$$S(T) \approx N \times \begin{cases} 2 \frac{\mu_0 B}{T} e^{-2 \frac{\mu_0 B}{kT}} & kT \ll \mu_0 B \\ k_B \ln 2 & kT \gg \mu_0 B \end{cases}$$



Für die spezifische Wärme folgt:

$$C(T) = T \left(\frac{\partial S}{\partial T} \right)_B = Nk \left(\frac{\mu_0 B}{kT} \right)^2 \cosh^{-2} \frac{\mu_0 B}{kT}$$

Das charakteristische Maximum wird als

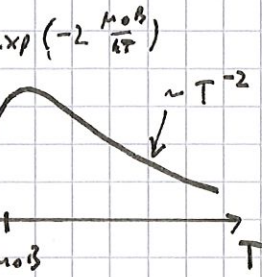
Schottky-Anomalie (Schottky-Peak)

berechnet. Das exponentielle Verhalten bei

hohen Temp. ist eine Folge des Energiedurchschnitts $\mu_0 B$,

der quadratische Abfall ist charakteristisch für ein System mit nach oben beschränktem Energiespektrum:

$$C(T) = Nk_B \begin{cases} 4 \left(\frac{\mu_0 B}{kT} \right)^2 \exp \left(-2 \frac{\mu_0 B}{kT} \right) & kT \ll \mu_0 B \\ \left(\frac{\mu_0 B}{kT} \right)^2 & kT \gg \mu_0 B \end{cases}$$



Für die Magnetisierung gilt

$$M = -\frac{\partial F}{\partial B} = N\mu_0 \tanh \frac{\mu_0 B}{kT} = N\mu_0 \langle \sigma_i \rangle$$

$$\text{Suszeptibilität } \chi = \frac{\partial M}{\partial B} = N\mu_0 \frac{\mu_0}{kT} (\cosh \frac{\mu_0 B}{kT})^{-2} \cdot \chi(T) \Big|_{B=0} = N\mu_0^2 / kT \quad \text{Curie-Gesetz}$$

Die innere Energie folgt aus

$$U = F + TS = -N\mu_0 B \tanh \frac{\mu_0 B}{kT} = -M \cdot B = -N\mu_0 B \langle \sigma_i \rangle$$

Alle Überlegungen dieses Abschnitts können auf N -Niveau-Systeme ausgedehnt werden.

Für ein System von N unabh. Teilchen, von denen jedes kommt von unendlich vielen Zuständen mit Energien $\varepsilon_1, \varepsilon_2, \dots$ annehmen kann, folgt also:

$$Z_K = (z_1)^N \quad (\text{falls die Teilchen lokalisiert, d.h. unterscheidbar sind})$$

$$z_1 = \sum_i e^{-\varepsilon_i/kT}$$

Die Wahrscheinlichkeit, ein T Teilchen im Zustand i zu finden, ist also:

$$p_i = \frac{1}{z_1} e^{-\varepsilon_i/kT} \quad ("Boltzmann-Verteilung")$$

Falls die Teilchen ununterscheidbar sind, gilt

$$z_K = \frac{1}{N!} (z_1)^N.$$

Dann kann man auch ein graphenesisches Ensemble betrachten:

$$Z_G = \sum_N \frac{N!}{N!} e^{N\mu/kT} (z_1)^N = \exp(z_1 e^{\mu/kT})$$

Dies kann man schreiben unter Verwendung der Besetzungszahlen n_i des Einzelchen-Niveaus i :

$$Z_G = \sum_{n_1=0}^{\infty} \sum_{n_2=0}^{\infty} \dots \frac{1}{n_1! n_2! \dots} e^{-\sum_i n_i (\varepsilon_i - \mu) / kT}$$

Daraus lässt sich die mittlere Besetzungszahl eines Niveaus ableiten:

$$\langle n_i \rangle = \sum_{n_i} n_i \cdot \underbrace{\frac{1}{z_i} \frac{e^{-n_i(\varepsilon_i - \mu) / kT}}{n_i!}}_{w_{n_i} = \text{Wahrsch., dass Niveau } i \text{ mit } n_i \text{ Teilchen besetzt ist}} \quad \text{mit } z_i = \sum_{n_i=0}^{\infty} \frac{1}{n_i!} e^{-n_i(\varepsilon_i - \mu) / kT}$$

$$\langle n_i \rangle = \underbrace{e^{-\varepsilon_i/kT}}$$

Mittlere Besetzungszahl der Einzelchen-Niveaus in der Boltzmann-Statistik (manchmal auch "Boltzmann-Verteilung" genannt)

4.2. Quantenoszillatoren

Wir betrachten ein System aus N identischen, wechselwirkungsfreien (unterscheidbaren) eindimensionalen harmonischen Oszillatoren. Die Energieniveaus eines Oszillators sind:

$$\epsilon_n = \hbar\omega \left(n + \frac{1}{2}\right)$$

Die Systemzustände sind gegeben durch $|n_1, \dots, n_N\rangle$. Die Gesamtenergie ist $E = \sum_{i=1}^N \epsilon_{n_i}$. Damit faktorisiert die Zustandssumme für ein harmonisches Ensemble:

$$\underline{Z_K} = (\underline{Z}_1)^N$$

Für einen einzelnen Oszillator gilt:

$$\underline{Z}_1 = \sum_{n=0}^{\infty} e^{-\hbar\omega/2kT} (e^{-\hbar\omega/kT})^n = \frac{e^{-\hbar\omega/2kT}}{1 - e^{-\hbar\omega/kT}} = \frac{1}{2 \sinh \frac{\hbar\omega}{2kT}}$$

Reihe konvergiert, da $|e^{-\hbar\omega/kT}| < 1$

Hochtemperaturentwicklung $\frac{\hbar\omega}{kT} \ll 1$:

$$\underline{Z}_1 = \frac{kT}{\hbar\omega} \left(1 - \frac{1}{24} \left(\frac{\hbar\omega}{kT}\right)^2 + \frac{7}{5760} \left(\frac{\hbar\omega}{kT}\right)^4 - + \dots \right)$$

Im klassischen Limit (formal $k \rightarrow 0$, siehe Kap 3.2.) folgt

$$\underline{Z}_{1,\text{cl}} = kT/\hbar\omega. \quad (\text{klassischer Limit} \hat{=} \text{Hochtemperaturlimit!})$$

Thermodynamik

$$F(T) = -kT \ln \underline{Z}_K = NkT \ln \left(1 - e^{-\hbar\omega/kT}\right) + N \frac{\hbar\omega}{2}$$

$$S(T) = -\frac{\partial F}{\partial T} = Nk \left\{ -\ln \left(1 - e^{-\hbar\omega/kT}\right) + \frac{\hbar\omega/kT}{e^{\hbar\omega/kT}-1} \right\}$$

$$= \begin{cases} Nk \ln \left(\frac{kT}{\hbar\omega}\right) & kT \gg \hbar\omega \\ Nk \frac{\hbar\omega}{kT} e^{-\hbar\omega/kT} & kT \ll \hbar\omega \end{cases}$$

$$\text{Innere Energie } U = F + TS = N \frac{\hbar\omega}{2} + \frac{N\hbar\omega}{e^{\hbar\omega/kT} - 1}$$

$$= N\hbar\omega \left(\frac{1}{2} + \underbrace{\frac{1}{e^{\hbar\omega/kT} - 1}}_{\langle n \rangle} \right)$$

$\langle n \rangle = \text{mittlere Zahl Oszillationsquanten}$

(pro Oszillator)

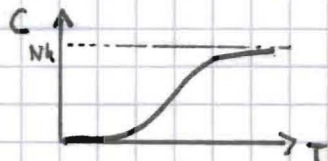
$$(\text{Alternativ: } U = \langle E \rangle = \frac{N}{Z} \sum_n E_n e^{-E_n/kT} = -\frac{\partial}{\partial \beta} \ln Z)$$

Die mittlere Besetzungszahl $\langle n \rangle = (e^{\hbar\omega/kT} - 1)^{-1}$ ist gerade die Bose-Einstein-Verteilung für Systeme ohne Teilchenzahl erhalten.

Für die Wärmekapazität gilt:

$$C = T \frac{\partial S}{\partial T} = \frac{\partial U}{\partial T} = N\hbar\omega \frac{\partial \langle n \rangle}{\partial T} = Nk \left(\frac{\hbar\omega}{2kT} \right)^2 \sinh^{-2} \frac{\hbar\omega}{2kT}$$

$$= \begin{cases} Nk & kT \gg \hbar\omega \\ Nk \left(\frac{\hbar\omega}{kT} \right)^2 e^{-\hbar\omega/kT} & kT \ll \hbar\omega \end{cases}$$



Das Hochtemperaturverhalten ist wiederum das eines klassischen Systems $C(T) \rightarrow \text{const}$, insbesondere ist der sogenannte Gleichverteilungssatz (s. später) erfüllt. (Jeder quadratische Term in der Hamilton-Funktion trägt mit $\frac{k}{2}$ zu C bei. Beim klassischen Oszillator sind sowohl Ort und Impuls quadratische Terme in H.)

Das Tieftemperaturverhalten ist wegen der Anregungsschwäche $\hbar\omega$ zwischen Grundzustand und ersten angeregten Zustand durch den Boltzmannfaktor $e^{-\hbar\omega/kT}$ bestimmt — man nennt dies thermisch aktiviertes Verhalten.

4.3. Ideales Boltzmann-Gas

Wir betrachten ein (klassisches) ideales Gas, d.h. ein System nicht wechselwirkender punktförmiger Teilchen (Restwechselwirkung nötig für Gleichgewicht!).

Konkret: N freie Teilchen im Kasten mit Volumen L^3 und der Hamilton-Funktion

$$H(q, p) = \frac{1}{2m} \sum_{i=1}^N (p_{ix}^2 + p_{iy}^2 + p_{iz}^2).$$

Offene R.B.:

$$p_{ix} = \frac{\pi k}{L} \eta_{ix}$$

→ gleiche Zahl! $\downarrow 0, 1, 2$

Bei Verwendung periodischer Randbedingungen folgt $p_{ix} = \frac{2\pi k}{L} n_{ix}, \dots, n_{ix} \in \mathbb{Z}_0, \pm 1, \pm 2$

In der kanonischen Gesamtheit folgt wegen der Unabhängigkeit der Teilchen

$$Z_K = \frac{1}{N!} (Z_1)^N$$

($\nmid N!$ wegen Konservierbarkeit). Für Z_1 folgt im Limes $L \rightarrow \infty$:

$$\begin{aligned} Z_1 &= \sum_{\{\vec{p}\}} \exp\left(-\frac{1}{kT} \frac{\vec{p}^2}{2m}\right) = \frac{L^3}{(2\pi k)^3} \int d^3 p \exp\left(-\frac{\vec{p}^2}{2mkT}\right) \\ z_{ix} &= \frac{L}{2\pi k} \int_{-\infty}^{\infty} dp_x \exp\left(-\frac{p_x^2}{2mkT}\right) =: \frac{L}{\lambda_T} \end{aligned}$$

mit der thermischen de-Broglie-Wellenlänge

$$\lambda_T = \left(\frac{2\pi k^2}{m k T}\right)^{1/2} \quad (\lambda_T \rightarrow \infty \text{ für } T \rightarrow 0 !)$$

und es gilt $Z_K = \frac{1}{N!} \left(\frac{L}{\lambda_T}\right)^{N \cdot D} \propto T^{\frac{ND}{2}} V^N$, $D=3$ Anzahl der Raumdimensionen

Es folgt die Thermodynamik:

$$F(T, V, N) = -NkT \ln\left(\frac{eV}{N\lambda_T^D}\right); \quad V = L^D \quad (\text{Stirling } N! \approx \left(\frac{N}{e}\right)^N)$$

$$S = -\left(\frac{\partial F}{\partial T}\right) = Nk \ln\left(\frac{eV}{N\lambda_T^D}\right) + \frac{D}{2} N \cdot k$$

Innere Energie:

$$U = F + TS = \frac{D}{2} N k T \quad (\text{halorische Zustandsgl.})$$

Spezifische Wärme:

$$C_V = \left(\frac{\partial U}{\partial T}\right)_V = N k \frac{D}{2} \quad (\text{Gleichverteilungssatz})$$

Druck:

$$P = -\left(\frac{\partial F}{\partial V}\right)_{T,N} = k T \frac{N}{V} \quad (\text{Thermische Zustandsgl.})$$

Chemisches Potential:

$$\mu = \left(\frac{\partial F}{\partial N}\right)_{T,V} = -k T \ln \left(\frac{V}{N \lambda_T^D} \right)$$

Achtung: Wenn der mittlere Teilchenabstand $a = (V/N)^{1/D}$ kleiner wird als die thermische de-Broglie-Wellenlänge, $a \ll \lambda_T$ (dies passiert bei tiefen Temp!) , dann wird die Entropie nach den obigen Gleichungen negativ! Dies demonstriert das Versagen der klassischen Beschreibung, d.h. die Quantisierung der Energieniveaus wird wichtig.

Für Atome gilt bei $100K$ $\lambda_T \approx 1\text{\AA}$ \rightsquigarrow für typische Gase gilt $a \gg \lambda_T$ \rightsquigarrow Maxwell-Boltzmann-Beschreibung ok.

Dagegen gilt für Elektronen $\lambda_T \approx 70\text{\AA}$, dies ist viel größer als der mittlere Elektronenabstand in Metallen \rightsquigarrow Metallelektronen müssen q.m. berücksichtigt werden.

Es ist nützlich, das Boltzmann-Gas in der gruppenmäßigen Gesamtheit zu betrachten:

$$\begin{aligned} Z_G &= \sum_{N=0}^{\infty} e^{\mu N/kT} Z_k^{(N)} = \sum_{N=0}^{\infty} \frac{(Z_1)^N}{N!} e^{\mu N/kT} \\ &= \exp \left(z_1 e^{\mu/kT} \right) \end{aligned}$$

Daraus folgt das großkanonische Potential:

$$\Omega(T, V, \mu) = -kT \ln Z_G = -kT Z_1 e^{\mu/kT} = -kT \frac{V}{\lambda_T^D} e^{\mu/kT}$$

$$T = T^{D/2}$$

und daraus die Thermodynamik:

$$\langle N \rangle = -\left(\frac{\partial \Omega}{\partial \mu}\right)_{T,V} = \frac{V}{\lambda_T^D} e^{\mu/kT} \quad \text{bzw: } \mu = -kT \ln \frac{V}{\langle N \rangle \lambda_T^D}$$

$$S = -\left(\frac{\partial \Omega}{\partial T}\right)_{V,\mu} = \left(\frac{D+2}{2}k - \frac{\lambda}{T}\right) \frac{V}{\lambda_T^D} e^{\mu/kT} = \frac{D+2}{2}k \langle N \rangle + k \langle N \rangle \ln \frac{V}{\langle N \rangle \lambda_T^D}$$

$$P = -\left(\frac{\partial \Omega}{\partial V}\right)_{T,\mu} = \frac{kT e^{\mu/kT}}{\lambda_T^D} = \langle N \rangle \frac{kT}{V}$$

$$\text{bzw: } P \cdot V = \langle N \rangle kT$$

$$U = \Omega + TS + \mu N = \frac{D}{2} \langle N \rangle kT$$

In beiden Ensembles finden wir dieselben Zustandsgleichungen,

$$PV = NkT \text{ und } U = \frac{D}{2}NkT, \text{ wobei jeweils } N \text{ und } E$$

durch Mittelwerte $\langle N \rangle$ und $U = \langle E \rangle$ zu erhalten sind

(gleiches gilt für das mikrokanonische Ensemble).

Wir leiten noch die Maxwellsche Geschwindigkeitsverteilung ab.

Die Wahrscheinlichkeitsdichte der Impulsverteilung $f(\vec{p})$ (d.h. die Zahl der

Teilchen mit Impuls \vec{p} im Impultraumvolumenelement $d^3\vec{p}$ pro $d^3\vec{p}$) ist

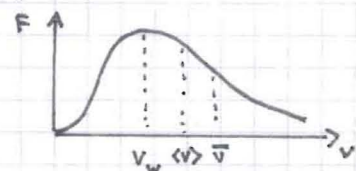
$$f(\vec{p}) = \frac{\frac{L^3}{(2\pi kT)^3}}{Z_1} e^{-\vec{p}^2/2mkT} = \left(\frac{m}{2\pi kT}\right)^{3/2} e^{-\vec{p}^2/2mkT}$$

Daraus die Wahrscheinlichkeitsdichte für die Geschwindigkeitsverteilung ($\vec{v} = \frac{\vec{p}}{m}$)

$$f(\vec{v}) = \left(\frac{m}{2\pi kT}\right)^{3/2} e^{-m\vec{v}^2/2kT} \quad (\text{aus } f(\vec{p}) d^3\vec{p} = f(\vec{v}) d^3v)$$

Für den Geschwindigkeitsbetrag $|\vec{v}| = v$ folgt mit $d^3v = 4\pi v^2 dv$:

$$F(v) = 4\pi v^2 \left(\frac{m}{2\pi kT}\right)^{3/2} e^{-mv^2/2kT}$$



Für ein ideales Gas in einem gegebenen äußeren Potentiale,

$$H(\vec{q}, \vec{p}) = \frac{1}{2m} \sum_{i=1}^N \frac{\vec{p}_i^2}{2m} + \sum_{i=1}^N V(\vec{q}_i)$$

geht man analog vor; $Z_N = \frac{1}{N!} (\bar{Z}_1)^N$, mit

$$\bar{Z}_1 = \int \frac{d^3 q d^3 p}{(2\pi\hbar)^3} \exp\left(-\frac{\vec{p}^2}{2mkT}\right) \exp\left(-\frac{V(\vec{q})}{kT}\right)$$

Damit faktorisiert die Verteilungsfkt., $f(\vec{q}, \vec{p}) = f(\vec{p}) \cdot \tilde{f}(\vec{q})$.

Die Wahrscheinlichkeitsdichte der Ortsraumverteilung folgt

$$\underline{w(\vec{q}) = \tilde{C} \tilde{f}(\vec{q}) = C \exp\left(-\frac{V(\vec{q})}{kT}\right)},$$

wobei C, \tilde{C} Normierungsfaktoren sind.

Daraus folgt beispielsweise die barometrische Höhenformel:

$$V(\vec{q}) = m \cdot g \cdot z \quad (m: \text{Molekülmasse des idealen Gases})$$

$$\sim n(z) = n(z=0) e^{-mgz/kT} \quad (\text{Dichte})$$

Wegen $P \cdot V = NkT$, $n = N/V$ (lokales Gleichgewicht!)

folgt für den Druck:

$$\underline{P(z) = P_0 e^{-mgz/kT}} \quad (\text{Näherung: isotherme Atmosphäre})$$

4.4. Gleichverteilungssatz

Wir betrachten ein klassisches System im thermodynamischen Gleichgewicht.

$$H(q, p) = T + V, \quad T = \sum p_i^2 / 2m_i$$

Für einen beliebigen Freiheitsgrad, der einen quadratischen Term additiv zur Hamiltonfunktion beträgt — dies kann eine Impulskomponente oder auch eine Ortskoordinate (s.v.) sein —,

$$H(q; p_1, \dots, p_f) = \varepsilon_1(p_1) + H'(q; p_2, \dots, p_f),$$

$$\varepsilon_1(p_1) = \alpha p_1^2,$$

folgt:

$$\langle \varepsilon_1 \rangle = \frac{\int dq_1 \dots dq_f dp_1 \dots dp_f \varepsilon_1 e^{-(\varepsilon_1 + H')/kT}}{\int dq_1 \dots dq_f dp_1 \dots dp_f e^{-(\varepsilon_1 + H')/kT}} = \frac{\int dp_1 \alpha p_1^2 e^{-\alpha p_1^2/kT}}{\int dp_1 e^{-\alpha p_1^2/kT}}$$

$$\beta = \frac{1}{kT} = -\frac{\partial}{\partial \beta} \ln \underbrace{\int dp_1 e^{-\alpha p_1^2 \beta}}_{\sqrt{\frac{\pi}{\alpha \beta}}} = \frac{1}{2\beta}$$

$$\therefore \langle \varepsilon_1 \rangle = \frac{1}{2} kT \quad \text{Gleichverteilungssatz}$$

Jedes unabh. quadratische Glied in der Hamiltonfkt eines klassischen Systems, das sich im td. Gleichgewicht befindet, hat einen statistischen Mittelwert von $\frac{1}{2} kT$.

Beispiele:

- Kinetische Energie $\langle T \rangle = N \cdot \frac{D}{2} kT$ für N Teilchen in D Dimensionen

- Harmonischer Oszillator (1d):

$$H = p_i^2 / 2m + m/2 \omega^2 x^2, \quad \langle H \rangle = 2 \times \frac{1}{2} kT$$

- Zweiatomiges Moleköl: 3 × Translation, 3 × rotat. Energie d. Schwingung;

$$2 \times \text{freie Rotation} \approx \langle H \rangle = \langle H_{\text{trans}} \rangle + \langle H_{\text{rot}} \rangle + \langle H_{\text{schw}} \rangle = \frac{3}{2} kT$$

- Festkörper (Einstein-Modell): $H = \sum_i^N (p_i^2 / 2m_i + \frac{m}{2} \omega_i^2 x_i^2)$ Phononen

$$\therefore \langle H \rangle = 3NkT, \quad C_V = \left(\frac{\partial E}{\partial T} \right)_{V,N} = 3Nk \quad (\text{Dulong-Petit})$$

Wir behandeln noch das sogenannte Virial theorem:

Für ein klassisches System mit beliebigen Kräften heißt

$$\varphi = \left\langle \sum_{j=1}^{3N} q_j \dot{F}_j \right\rangle_t, \quad F_j = \dot{p}_j = -\frac{\partial H}{\partial q_j} \quad (\text{Kraft})$$

das Virial (oder Kraft). Im Rahmen der klassischen Mechanik folgt
(Ext. vir = KMT)

$$q_j \dot{F}_j = m q_j \ddot{q}_j = \frac{d}{dt} m q_j \dot{q}_j - m \dot{q}_j^2$$

Das Zeitmittel des ersten Terms ist i.a. Null; es folgt

$$\langle \varphi \rangle_t = \left\langle \sum_i \frac{m}{2} \dot{q}_j^2 \right\rangle_t = -\frac{1}{2} \left\langle \sum_i q_j \dot{F}_j \right\rangle_t = -\frac{\varphi}{2}$$

(Virialsatz der klass. Mechanik).

Mit Hilfe des Gleichverteilungssatzes, $\langle \varphi \rangle = \frac{3}{2} N k T$,

folgt das Virialtheorem der klass. Statistik:

$$\langle \varphi \rangle = \left\langle \sum_j q_j \dot{p}_j \right\rangle = -3 N k T$$

Daraus lässt sich beispielsweise die Zustandsgleichung des idealen Gases herleiten. Wenn man die Kräfte der Schätterwand betrachtet, erhält man

$$\langle \varphi \rangle = -3 P V \quad \rightsquigarrow \quad P V = N k T$$

$$\langle \sum_j q_j \dot{F}_j \rangle = -P \oint \vec{F} \cdot d\vec{A}, \quad \text{Gmp mit } \operatorname{div} \vec{F} = 3$$

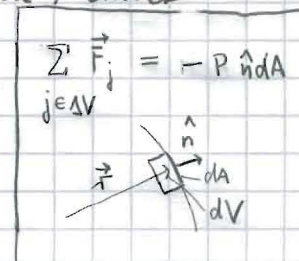
Bem. Die aus dem Gleichverteilungssatz folgende Regel,

$$\langle H \rangle = \frac{f}{2} N k T \quad (f = \text{zahl der Freiheitsgrade pro Teilchen}),$$

$$C(T) = \frac{f}{2} N k, \quad \text{stößt in Widerspruch zum 3. Hauptsatz}$$

$C(T) \rightarrow 0$ für $T \rightarrow 0$! $\hat{=}$ Quanteneffekte werden bei

hohen Temperaturen wichtig!



Virialsatz alternativ (WW-frei) :

$$\begin{aligned}\langle p \frac{\partial H}{\partial p} \rangle &= \frac{1}{Z} \int \frac{dx dp}{2\pi\hbar} p \frac{\partial H}{\partial p} e^{-H/kT} \\ &= \frac{1}{Z} \int \frac{dx dp}{2\pi\hbar} (-kT) p \frac{\partial}{\partial p} (e^{-H/kT}) \\ &\stackrel{!}{=} kT \quad \frac{1}{Z} \int \frac{dx dp}{2\pi\hbar} e^{-H/kT} = kT\end{aligned}$$

$$\langle x \frac{\partial H}{\partial x} \rangle = kT \quad \text{analog}$$

4.5. Quantenstatistik idealer Gase

Wir betrachten ein System aus N identischen ^{nichtwechselwirkenden} quantenmechanischen Teilchen, beschrieben durch den Hamiltonoperator,

$$\hat{H}(1, \dots, N) = \sum_{j=1}^N \hat{h}(j),$$

wobei $j = (\vec{r}_j, \sigma_j)$ für die Orts- und SpinvARIABLE des Teilchens steht.

Der Einzelchen-Hamiltonoperator \hat{h} besitzt (Einzelchen-) Eigenzustände

$$\hat{h}|\lambda\rangle = \varepsilon_\lambda |\lambda\rangle.$$

Der Hilbertraum des N -Teilchen-Systems lässt sich aus Zustandsvektoren aufbauen, die ein direktes Produkt von Einzelchenzuständen sind,

$$\hat{\Phi}^P(1, \dots, N) = \varphi_{\lambda_1}(1) \varphi_{\lambda_2}(2) \dots \varphi_{\lambda_N}(N),$$

wobei $\varphi_\lambda(j) = \langle j | \lambda \rangle$ die Einzelchenwellenfkt in der Ortsdarstellung bezeichnet. Diese stellen eine vollständige Orthonormalbasis dar:

$$\int d\mathbf{j} \varphi_{\lambda'}^*(j) \varphi_{\lambda''}(j) = \delta_{\lambda', \lambda''}, \quad \sum_n \varphi_{\lambda'}^*(j) \varphi_{\lambda''}(j') = \delta(j-j')$$

Damit sind auch die Produktzustände $\hat{\Phi}^P$ orthonormiert ($n = \{\lambda_1, \dots, \lambda_N\}$):

$$\langle \hat{\Phi}_n^P | \hat{\Phi}_{n'}^P \rangle = \int d\mathbf{j}_1 \dots d\mathbf{j}_N \hat{\Phi}_n^{P*}(1, \dots, N) \hat{\Phi}_{n'}^P(1, \dots, N) = \delta_{\lambda_1, \lambda'_1} \dots \delta_{\lambda_N, \lambda'_N},$$

$\hat{\Phi}_n^P$ ist außerdem Eigenzustand von H :

$$\hat{H}|\hat{\Phi}_n^P\rangle = E_n |\hat{\Phi}_n^P\rangle, \quad E_n = \sum_{j=1}^N \varepsilon_{\lambda_j}.$$

Für identische, nicht lokalisierbare (und damit nicht numerierbare!)

Teilchen gilt das Postulat:

! Zustände, die sich nur durch Austausch zweier identischer Teilchen unterscheiden, sind äquivalent, d.h. sie führen zu gleichen beobachtbaren Eigenschaften.

Den Austausch zweier Teilchen kann man mittels eines Permutationsoperator \hat{P}_{ij} formulieren, der die Teilchen i und j austauscht:

$$\hat{P}_{ij} \Phi(1, \dots, i, j, \dots, N) = \Phi(1, \dots, j, i, \dots, N)$$

Aus der Invarianz physikalischer Eigenschaften folgt die Forderung

$$\hat{P}_{ij} \Phi = e^{i\Theta} \Phi,$$

dann Zustände $e^{i\Theta} \Phi$ mit beliebiger Phase Θ bilden den Satz unitär äquivalenter Zustände.

In $D=3$ Dimensionen lässt sich dies mit zwei Klassen von Vierteilchenzuständen erfüllen:

- ① Symmetrische Zustände, $\hat{P}_{ij}\Phi = \Phi \quad \forall \hat{P}_{ij}$ „Bosonen“
- ② Antisymmetrische Zustände, $\hat{P}_{ij}\Phi = -\Phi$ „Fermionen“

Bemerkungen:

- Eine genauere Untersuchung der Permutationen ergibt:

$$D=3: \quad \Theta = 0, \pi \quad \rightarrow \text{Bosonen \& Fermionen}$$

$$D=2: \quad \Theta \text{ beliebig} \quad \rightarrow \text{"Anyonen"}$$

$$D=1: \quad \Theta \text{ beliebig} \quad \text{Irrelevant, da kein Teilchen austausch möglich}$$

- Im Rahmen der relativistischen Quantenfeldtheorie folgt das

"Spin-Statistik-Theorem":

Fermionen besitzen halbzahligen Spin ($s=\frac{1}{2}, \frac{3}{2}, \dots$),

Bosonen besitzen ganzzahligen Spin ($s=0, 1, \dots$).

Aus den Eigenwerten ± 1 des Permutationsoperators lässt sich die Struktur der q.m. Einzelchenzustände ableiten.

Für Bosonen gilt: $\left(\begin{array}{l} \text{Im folgenden sei } \hat{P}^{(P)} \text{ ein Permutationsoperator, der } P \\ \text{Permutationen von jeweils 2 Teilchen bewirkt.} \end{array} \right)$

Total symmetrische Zustände können als Summe über alle $N!$

Permutationen von Teilchen geschrieben werden:

$$\underline{|\Psi_s\rangle = K_s \sum_{P^{(P)}} \hat{P}^{(P)} |\Phi\rangle} \quad (K_s: \text{Normierung}),$$

denn es gilt:

$$\hat{P}' |\Psi_s\rangle = K_s \sum_P \hat{P}' \hat{P} |\Phi\rangle = K_s \sum_{P''} \hat{P}'' |\Phi\rangle$$

(Permutationen bilden eine Gruppe!)

Im folgenden nehmen wir an, dass $\Phi = \Phi^P = \varphi_{\lambda_1}(x_1) \dots \varphi_{\lambda_N}(x_N)$ ein Produktzustand aus Einzelchenzuständen ist. Dann gilt:

$$\langle \Phi_s | \Phi_s \rangle = |K_s|^2 N! \left(\prod_{\lambda} n_{\lambda}! \right)^{-1} = 1, \quad \text{Be!}$$

wobei n_{λ} die Anzahl des λ -Eigenzustandes φ_{λ} in Φ bezeichnet.

$$K_s = \frac{\sqrt{\prod_{\lambda} n_{\lambda}!}}{\sqrt{N!}}$$

In $|\Phi_s\rangle$ steht nicht mehr die Information, welches Teilchen in welchem Einzelchenzustand φ_{λ} vorkommt, sondern nur, wie oft jeder Einzelchen-Zustand tretrt ist. D.h. $|\Phi_s\rangle$ ist eindeutig charakterisiert durch die Besetzungszahlen n_{λ} und die Angabe der Symmetrie (s):

$$|\Phi_s\rangle = |n_1, n_2, \dots\rangle_s = |\{n_{\lambda}\}\rangle_s$$

Die $|\{n_{\lambda}\}\rangle$ bilden ein vollständiges Orthonormales Basisystem im Hilbertraum der Boson systeme mit beliebiger Teilchenzahl (Fock-Raum).

$$\text{Orthonormalität: } \langle \{n_\lambda\} | \{n_\lambda\} \rangle = \delta_{n_1, n_1} \delta_{n_2, n_2} \dots$$

$$\text{Vollständigkeit} \quad \sum_{\{n_\lambda\}} | \{n_\lambda\} \rangle \langle \{n_\lambda\} | = \hat{1}$$

Die Zustände $| \{n_\lambda\} \rangle$ sind Eigenzustände des Teilchenzahloperators \hat{N}

$$\hat{N} | \{n_\lambda\} \rangle = \sum_\lambda n_\lambda | \{n_\lambda\} \rangle ,$$

für Bosonen sind die $n_\lambda = 0, 1, 2, \dots$ beliebig.

Für nichtwechselwirkende Systeme und eine Einfachen Basis φ_λ aus

Eigenzuständen des Einfachen-Hamilton-Operators sind die $| \{n_\lambda\} \rangle$ auch

Energienzustände:

$$\hat{H} | \{n_\lambda\} \rangle = \sum_\lambda n_\lambda \varepsilon_\lambda | \{n_\lambda\} \rangle$$

Für Fermionen gilt:

Total antisymmetrische Zustände kann man analog bilden:

$$| \Phi_a \rangle = K_a \sum_{P \in S} (-1)^P \hat{P}^{(o)} | \Phi \rangle$$

Die Antisymmetrie folgt aus

$$\hat{P}' | \Phi_a \rangle = K_a \sum_P (-1)^P \hat{P}' \hat{P} | \Phi \rangle = K_a (-1)^{P'} \sum_{P''} (-1)^{P''} \hat{P}'' | \Phi \rangle \\ = (-1)^{P'} | \Phi_a \rangle$$

mit

$$(-1)^{P''} = (-1)^{P' P}.$$

Für Fermionen sind nur $n_\lambda = 0, 1$ zulässig, da für $n_\lambda \geq 1$

sofort $| \Phi_a \rangle = 0$ folgt. (Damit $K_a = 1/\sqrt{N!}$.)

(Pauli-Prinzip)

Dieser Zustand (Φ_a) lässt sich als Slater-Determinante schreiben.

$$\underline{\text{Bsp}} \quad \text{2 Teilchen bosonen} \quad \Phi_s = \frac{1}{\sqrt{2}} (\varphi_1(1) \varphi_2(2) + \varphi_2(1) \varphi_1(2))$$

$$\begin{aligned} \text{Fermionen} \quad \Phi_a &= \frac{1}{\sqrt{2}} (\varphi_1(1) \varphi_2(2) - \varphi_2(1) \varphi_1(2)) \\ &= \frac{1}{\sqrt{2}} \begin{vmatrix} \varphi_1(1) & \varphi_1(2) \\ \varphi_2(1) & \varphi_2(2) \end{vmatrix} \end{aligned}$$

Wir berechnen nun die Zustandssumme für ein System identischer, nichtwechselwirkender Bosonen oder Fermionen, d.h.

$$\hat{H} = \sum h(j), \quad h(\lambda) = \epsilon_\lambda |\lambda\rangle.$$

Die Berechnung ist besonders einfach in der graphentheoretischen Sprache:

$$\begin{aligned} Z_G &= \sum_N \sum_{\substack{n_\lambda \\ \sum n_\lambda = N}} e^{-\beta(E - \mu N)} = \sum \sum_{\substack{n_\lambda_1 \\ n_\lambda_2 \\ \dots}} e^{-\sum \beta n_\lambda (\epsilon_\lambda - \mu)} \\ &= \prod_\lambda z_\lambda \end{aligned}$$

($\beta = 1/kT$)

Offensichtlich faktorisiert die Zustandssumme, mit

$$z_\lambda = \sum_{n_\lambda} e^{-n_\lambda (\epsilon_\lambda - \mu) / kT}$$

Für Bosonen ist:

$$z_\lambda^B = \sum_{n_\lambda=0}^{\infty} e^{-\beta n_\lambda (\epsilon_\lambda - \mu)} = 1 + e^{-\mu} + (e^{-\mu})^2 + \dots = \frac{1}{1 - e^{-(\epsilon_\lambda - \mu) / kT}}$$

Für Fermionen gilt:

$$z_\lambda^F = \sum_{n_\lambda=0,1} e^{-\beta n_\lambda (\epsilon_\lambda - \mu)} = 1 + e^{-(\epsilon_\lambda - \mu) / kT}$$

Aus Z_G erhält man in üblicher Weise das großes. v. d. Potentiel

$$\Omega(T, V, \mu) = -kT \ln Z_G$$

In besonderen kann man die mittleren Besetzungszahlen der Einteilchen niveaus berechnen:

$$\langle n_\lambda \rangle = \frac{1}{Z_\lambda} kT \frac{\partial}{\partial \mu} Z_\lambda = \frac{1}{Z_\lambda} \sum_{n_\lambda} n_\lambda e^{-\beta n_\lambda (\epsilon_\lambda - \mu)}$$

Man erhält für Bosonen die sogenannte **Bose-Einstein-Verteilung**:

$$\langle n_\lambda \rangle^B = \frac{1}{e^{(\epsilon_\lambda - \mu) / kT} - 1} \equiv n_B(\epsilon_\lambda - \mu)$$

und für Fermionen die **Fermi-Dirac-Verteilung**:

$$\langle n_\lambda \rangle^F = \frac{1}{e^{(\epsilon_\lambda - \mu) / kT} + 1} \equiv n_F(\epsilon_\lambda - \mu)$$

Für hohe Energien ϵ_λ gilt in beiden Fällen $\langle n_\lambda \rangle \approx e^{-(\epsilon_\lambda - \mu) / kT}$,

(Dies gilt auch im Hochtemp.-Limit wegen $\mu / kT \gg 1$, siehe später.) (Maxwell-Boltzmann)

4.6. Ideales Fermi - Gas

Wir betrachten ein gas nicht wechselwirkender Fermionen im Kontakt mit einem Wärme- und Teilchenreservoir. Die großkanonische Zustandssumme ist

$$Z_G = \sum_p e^{-\beta(\hat{H} - \mu \hat{N})} = \prod_{\lambda} [1 + e^{-\beta(\varepsilon_{\lambda} - \mu)}]$$

Die Wahrscheinlichkeiten dafür, daß ^{der} Einküchenraum λ mit n_{λ} ($= 0, 1$) Teilchen besetzt ist, ist:

$$p_{\lambda}(n_{\lambda}) = \frac{e^{-\beta n_{\lambda}(\varepsilon_{\lambda} - \mu)}}{1 + e^{-\beta(\varepsilon_{\lambda} - \mu)}}$$

Die mittlere Belegungszahl ist dann

$$\langle n_{\lambda} \rangle^F = \sum_{n_{\lambda}} n_{\lambda} p_{\lambda}(n_{\lambda}) = \frac{1}{e^{(\varepsilon_{\lambda} - \mu)/kT} + 1} = : n_F(\varepsilon_{\lambda} - \mu)$$

Die Fluktuationen in der Teilchenzahl sind gegeben durch

$$\langle (n_{\lambda} - \langle n_{\lambda} \rangle)^2 \rangle = \langle n_{\lambda} \rangle - \langle n_{\lambda} \rangle^2 = n_F(\varepsilon_{\lambda} - \mu) (1 - n_F(\varepsilon_{\lambda} - \mu)) \leq n_F(\varepsilon_{\lambda} - \mu)$$

wobei $n_{\lambda}^2 = n_{\lambda}$ trennt wurde. Damit folgt auch

$$\langle n_{\lambda} n_{\lambda'} \rangle = \begin{cases} \langle n_{\lambda} \rangle \langle n_{\lambda'} \rangle & \text{für } \lambda \neq \lambda' \\ \langle n_{\lambda} \rangle & \text{für } \lambda = \lambda' \end{cases}$$

da die Einküchenräume unabh. sind (und die Fermionen nicht wechselwirken).

Die Fluktuationen in der Gesamtteilchenzahl sind dann:

$$\langle (N - \langle N \rangle)^2 \rangle \stackrel{\downarrow}{=} \sum_{\lambda \lambda'} [\langle n_{\lambda} n_{\lambda'} \rangle - \langle n_{\lambda} \rangle \langle n_{\lambda'} \rangle] = \sum_{\lambda} [\langle n_{\lambda} \rangle - \langle n_{\lambda} \rangle^2] \leq \langle N \rangle$$

mit $\langle N \rangle = \sum_{\lambda} \langle n_{\lambda} \rangle$. Für die relative Schwankung folgt:

$$\frac{\Delta N}{\langle N \rangle} \leq \frac{1}{\sqrt{N}} \xrightarrow{N \rightarrow \infty} 0 \quad \checkmark$$

Die Thermodynamik folgt aus dem großkanonischen Potential:

$$\Omega_0(T, V, \mu) = -kT \ln Z_G = -kT \sum_{\lambda} \ln (1 + e^{-(\varepsilon_{\lambda} - \mu)/kT})$$

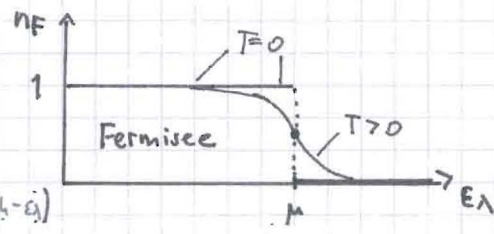
$$N = \langle N \rangle = -\frac{\partial \Omega_0}{\partial \mu} = \sum_{\lambda} n_F(\varepsilon_{\lambda} - \mu)$$

$$S = -\frac{\partial \Omega_0}{\partial T} \stackrel{\text{Eins.}}{=} -\frac{\Omega_0}{T} + \sum_{\lambda} \frac{\varepsilon_{\lambda} - \mu}{T} n_F(\varepsilon_{\lambda} - \mu)$$

$$P = -\frac{\partial \Omega_0}{\partial V} = -\frac{\Omega_0}{V} \quad (\text{es wäre } \Omega_0 = -PV)$$

Grenzfall $T=0$

$$n_\lambda = \begin{cases} 1 & \text{für } \varepsilon_\lambda < \mu \quad (\text{besetzt}) \\ 0 & \text{für } \varepsilon_\lambda > \mu \quad (\text{leer}) \end{cases}$$



Es folgt mit

$$\lim_{T \rightarrow 0} -kT \ln(1 + e^{-\beta(\varepsilon_\lambda - \mu)}) = (\varepsilon_\lambda - \mu) \Theta(\mu - \varepsilon_\lambda)$$

für das graphenmatische Potential:

$$S_L = \sum_\lambda (\varepsilon_\lambda - \mu) \Theta(\mu - \varepsilon_\lambda),$$

dies ist (natürlich) die Grundzustandsenergie (bezogen auf μ).

Man definiert die Fermienergie $\varepsilon_F := \mu(T=0)$.

Für festes CN:

Achtung: $\mu(T)$ ist temp.-abhängig, ε_F ist konstant (per Definition).

In Metallen ist typischerweise $\varepsilon_F \approx 5 \dots 10 \text{ eV}$. Dies definiert die Fermi-temperatur nach $\varepsilon_F = kT_F \rightarrow T_F \approx 10^5 \text{ K}$.

II.c.

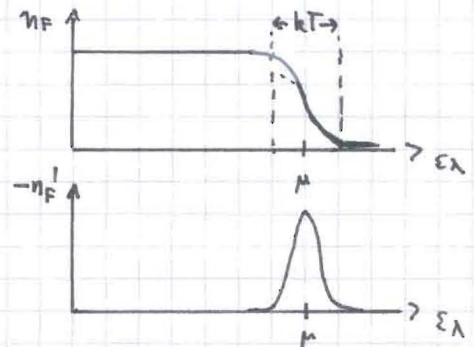
Tieftemperaturbereich $kT \ll \varepsilon_F$

Die scharfe Fermikante ($T=0$) wird für $T>0$ auf einer Skala kT

verbreitert. Die Ableitung

$$-\frac{\partial n_F(\varepsilon_\lambda - \mu)}{\partial \varepsilon_\lambda} = \frac{1}{4kT \cosh^2 \frac{\varepsilon_\lambda - \mu}{2kT}}$$

bildet ein scharfes Maximum bei $\varepsilon_\lambda = \mu$.



Wir wollen jetzt die tol. Eigenschaften im Bereich $kT \ll \varepsilon_F$ (sog. entartetes Fermigas) durch einen Tieftemperaturausbau berechnen. Ausgangspunkt ist

$$S_L = -kT V (2s+1) \int_{-\infty}^0 d\varepsilon D(\varepsilon) \ln \left[1 + e^{-\beta(\varepsilon - \mu)} \right]$$

mit der Zustandsdichte (s ist der Spin der Fermionen)

$$D(\varepsilon) = \frac{1}{V(2s+1)} \sum_\lambda \delta(\varepsilon - \varepsilon_\lambda).$$

Zweifache partielle Integration liefert

$$\Omega_s = -V(2s+1) \int_{-\infty}^{\varepsilon} d\varepsilon b(\varepsilon) \left(-n_F'(\varepsilon-\mu) \right)$$

mit

$$b(\varepsilon) = \int_{-\infty}^{\varepsilon} d\varepsilon' a(\varepsilon') ; \quad a(\varepsilon) = \int_{-\infty}^{\varepsilon} d\varepsilon' D(\varepsilon') .$$

Da n_F' nur nahe $\varepsilon=\mu$ von Null verschieden ist, kann b entwickelt werden:

$$b(\varepsilon) = b(\mu) + \underbrace{b'(\mu)}_{a(\mu)} (\varepsilon-\mu) + \frac{1}{2} \underbrace{b''(\mu)}_{D(\mu)} (\varepsilon-\mu)^2 + \dots$$

Wir benötigen damit folgende Integrale:

$$I_n = \int_{-\infty}^{\infty} d\varepsilon (\varepsilon-\mu)^n (-n_F'(\varepsilon-\mu)) = \begin{cases} 1 & n=0 \\ \frac{\pi^2}{3} (kT)^4 & n=2 \\ \frac{7\pi^4}{15} (kT)^4 & n=4 \end{cases}$$

($I_n = 0$ für n ungerade)

Es folgt:

$$\frac{\Omega_s}{V} = (2s+1) \left[-b(\mu) - \frac{\pi^2}{6} D(\mu) (kT)^2 + \mathcal{O}(kT)^4 \right] = -P$$

Diese Tieftemperaturentwicklung wird Sommerfeld-Entwicklung genannt.

Die tot. Größen ergeben sich zu:

$$N(T) = -\frac{\partial \Omega}{\partial \mu} = V(2s+1) \left[\frac{\partial b}{\partial \mu} + \frac{\pi^2}{6} \frac{\partial D(\mu)}{\partial \mu} (kT)^2 + \dots \right]$$

$$\text{mit } \frac{\partial b}{\partial \mu} = a(\mu) = a(\varepsilon_F) + (\mu - \varepsilon_F) a'(\varepsilon_F) + \dots ,$$

$$N(T) = N(T=0) \quad a(\varepsilon_F) = \int_{-\infty}^{\varepsilon_F} d\varepsilon' D(\varepsilon') = \frac{N(T=0)}{V(2s+1)}, \quad a'(\varepsilon_F) = D(\varepsilon_F)$$

$$\xrightarrow{\text{Chem. Pot.}} \mu(T) = \varepsilon_F - \frac{\pi^2}{6} \frac{1}{D(\varepsilon_F)} \left(\frac{\partial D(\varepsilon_F)}{\partial \varepsilon_F} \right) (kT)^2 + \mathcal{O}(kT)^4 \quad \text{falls } N \text{ fest!}$$

$$\underline{\text{Enthopie:}} \quad S = -\frac{\partial \Omega}{\partial T} = \frac{1}{(2s+1)} V \frac{\pi^2}{3} D(\varepsilon_F) k^2 T + \dots$$

$$\underline{\text{Spez. Wärme:}} \quad C_V = T \left(\frac{\partial S}{\partial T} \right)_V = S + \dots$$

Bemerkungen zu $S(T)$ und $C_V(T)$

- 1) $S(T) \rightarrow 0$ für $T \rightarrow 0$ in Übereinstimmung mit 3.45
- 2) $C_V = \gamma T$ mit $\gamma \propto D(\varepsilon_F)$ - dies ist der dominierende Beitrag zur Wärmekapazität von Metallen bei tiefen Temp. !
- 3) Lineare Abh. $S \propto T$, $C_V \propto T$ für tiefe Temperaturen ist Folge der endlichen Zustandsdichte an der Fermi-Kante, $D(\varepsilon_F) > 0$, d.h. es existieren Anregungen mit beliebig kleiner Anregungsenergie. (Dies gilt nicht in Isolatoren, Supraleitern, Halbleitern, Schmelzen, ...)

Kompressibilität

$$\chi_T = \frac{1}{n} \left(\frac{\partial n}{\partial P} \right)_T = \frac{1}{n^2} \left(\frac{\partial n}{\partial \mu} \right)_T$$

(siehe Kap 1)
(oder Gibbs-Duhem
 $dP = n d\mu$ falls $dT = 0$)

Mit

$$\begin{aligned} n &= \frac{N}{V} = \frac{1}{V} \sum_{\lambda} n_F(\varepsilon_{\lambda} - \mu) \\ &= (2s+1) \int d\varepsilon D(\varepsilon) n_F(\varepsilon - \mu) \end{aligned}$$

folgt

$$\left(\frac{\partial n}{\partial \mu} \right)_T = (2s+1) D(\varepsilon_F) + o(T^2) \quad \rightsquigarrow \quad \chi_T \propto D(\varepsilon_F)$$

Magnetismus

$$\hat{H} = \frac{1}{2m} \left(\vec{p} + \frac{e}{c} \vec{A} \right)^2 - \mu_0 \vec{\sigma} \cdot \vec{B} \quad (\sigma_z = \pm 1)$$

Das Magnetfeld führt zu zwei Effekten: der \vec{A} -Term erzeugt Landau-Diamagnetismus, der $\vec{\sigma}$ -Term Pauli-Paramagnetismus.

Im folgenden betrachten wir nur den paramagnetischen Term, für $S = \frac{1}{2}$.

Der Effekt des Feldes lässt sich als Aufspaltung der Einfachheiten energien darstellen:

$$\epsilon_{\vec{p}\sigma} = \epsilon_{\vec{p}} \mp \mu_0 B$$

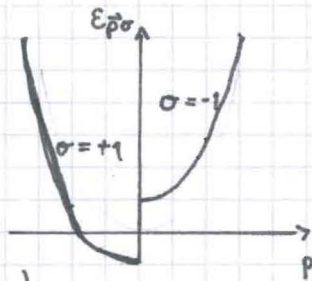
Die Magnetisierung folgt

$$M = \mu_0 \sum_{\vec{p}} [n_F(\epsilon_{\vec{p}F} - \mu) - n_F(\epsilon_{\vec{p}B} - \mu)]$$

Für kleine Felder B lässt sich n_F entwickeln,

und man erhält die Pauli-Spinsuszeptibilität (pro Volumen)

$$\chi = \frac{1}{V} \frac{\partial M}{\partial B} = 2\mu_0^2 D(\epsilon_F) + o(T^2)$$



Offensichtlich sind viele Tieftemperatur-Eigenschaften des Fermi-Gases nur durch die Zustandsdichte an der Fermi-Kante, $D(\epsilon_F)$, bestimmt.

Zur expliziten Berechnung der Zustandsdichte (und weiterer Größen)

betrachten wir jetzt speziell:

Freie nichtrelativistische Fermionen mit period. Raumbedingungen im einem Kasten mit Volumen $V = L^D$. Die Eigenzustände sind ebene Wellen mit ImpulsEigenwerten

$$p_i = \frac{2\pi\hbar}{L} n_i, \quad \vec{p} = (p_x, p_y, p_z) \quad \text{für } D=3, \quad n_i \text{ ganzzahlig}$$

Die Einzelchenzustände λ besitzen Quantenzahlen $\vec{p}\sigma$ ($\sigma = \pm \hbar \lambda$) mit Energien:

$$\epsilon_\lambda = \epsilon_{\vec{p}\sigma} = \vec{p}^2 / 2m = \frac{1}{2m} \left(\frac{2\pi\hbar}{L} \right)^2 \sum_{i=1}^D n_i^2$$

Die Zustandsdichte $N(\epsilon)$ pro Spurrichtung ist dann

$$\begin{aligned} D(\epsilon) &= \frac{1}{V} \sum_{\vec{p}} \delta(\epsilon - \epsilon_{\vec{p}}) = \frac{1}{V} \frac{V}{(2\pi\hbar)^D} \int d^D p \delta(\epsilon - \epsilon_{\vec{p}}) \\ &= \frac{D\omega_D}{(2\pi\hbar)^D} \int_0^\infty dp p^{D-1} \delta(\epsilon - \epsilon_p) = \frac{D\omega_D}{(2\pi\hbar)^D} m \underbrace{\left(\frac{1}{2m\epsilon} \right)}_{p(\epsilon)}^{D-2}, \end{aligned}$$

dabei ist ω_D die Oberfläche des Einheitswürfel in D Dimensionen.

Wir definieren den Fermi-Impuls p_F :

$$p_F := p(\epsilon_F) = \sqrt{2m\epsilon_F} =: \pm k_F \quad (k_F: \text{Fermi-Wellenzahl})$$

Bei $T=0$ sind alle Zustände mit $\varepsilon < \varepsilon_F$ besetzt, d.h.

$|\vec{p}| = p_F$ definiert die **Fermi-Fläche** im Impulsraum, welche die besetzten von den unbewohnten Zuständen trennt.

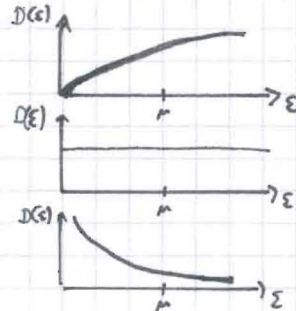
(Für kompliziertere Dispersionssrelationen definiert ε_F allgemein die Fermi-Fläche.)

Konkret ergibt sich für die Zustandsdichte: ($\rho(\varepsilon) = \sqrt{2m\varepsilon}$)

$$D=3, \quad \Omega_3 = 4\pi, \quad D(\varepsilon) = \frac{m\rho(\varepsilon)}{2\pi^2 h^3} \sim \varepsilon^{1/2}$$

$$D=2, \quad \Omega_2 = 2\pi, \quad D(\varepsilon) = \frac{m}{2\pi h^2} \sim \varepsilon^0$$

$$D=1, \quad \Omega_1 = 2, \quad D(\varepsilon) = \frac{m}{\pi h \rho(\varepsilon)} \sim \varepsilon^{-1/2}$$



Für die Gesamtteilchenzahl folgt bei $T=0$:

$$N = V(2s+1) \int_{-\infty}^{\varepsilon_F} d\varepsilon' D(\varepsilon') = \frac{V(2s+1)}{(2\pi h)^D} \underbrace{\frac{\Omega_D}{D}}_{\text{Volumen der Fermikugel}} p_F^D$$

damit $N \propto V \varepsilon_F^{D/2}$ und $\varepsilon_F \propto n^{2/D}$.

Analog folgt für die Energie bei $T=0$:

$$U = \langle E \rangle = V(2s+1) \int_{-\infty}^{\varepsilon_F} d\varepsilon' \varepsilon' D(\varepsilon') = \frac{D}{D+2} N \varepsilon_F$$

Die tot. Funktionen lassen sich kompakt schreiben (in $D=3$, für $\varepsilon_F = \rho^2/2m$)

mit

$$f_{5/2}(z) := \frac{4}{\pi} \int_0^\infty dx x^2 \ln(1+ze^{-x^2}) = \sum_{\ell=1}^{\infty} \frac{(-1)^{\ell+1} z^\ell}{\ell^{5/2}}$$

$$f_{3/2}(z) := z \frac{\partial}{\partial z} f_{5/2}(z) = \sum_{\ell=1}^{\infty} \frac{(-1)^{\ell+1} z^\ell}{\ell^{3/2}}, \quad z = e^{\beta E}$$

Fragabilität

sowie der thermischen de-Broglie-Wellenlänge

$$\lambda_T^2 = \frac{2\pi h^2}{m k T}$$

Allgemein:	$f_v(z) = \frac{1}{P(v)} \int_0^\infty \frac{x^{v-1} dx}{e^{-t} + 1}$	$P(n) = (n-1)!$
		$P(z) = \int_0^\infty e^{-t} t^{z-1} dt$

So folgt aus $\partial U = -PV = -kT \ln Z_G$: (siehe Üb.)

$$\frac{P}{kT} = \frac{(2s+1)}{\lambda_T^3} f_{5/2}(z) \quad , \quad \text{analogem} \quad \frac{N}{V} = \frac{(2s+1)}{\lambda_T^3} f_{3/2}(z)$$

Die innere Energie ergibt sich zu

$$U = -\frac{\partial}{\partial \beta} \ln Z_G = \frac{3}{2} kT \frac{V(2s+1)}{\lambda_T^3} f_{5/2}(z) = \frac{3}{2} NkT \frac{f_{5/2}(z)}{f_{3/2}(z)}$$

$$\leadsto P = \frac{2}{3} \frac{U}{V}$$

Für die Entropie erhält man

$$S = Nk \left(\frac{5}{2} \frac{f_{5/2}(z)}{f_{3/2}(z)} - \ln z \right)$$

Konkret ergibt sich ($d=3$)

Vgl klass. $PV = NkT$

$$\underset{T=0}{U} = \frac{3}{5} N c_F = \frac{3}{5} N k T_F \quad , \quad \text{mit} \quad P = \frac{2}{3} \frac{U}{V} \quad \leadsto \quad PV = \frac{2}{5} N k T_F$$

$$\frac{N}{V} = \frac{2s+1}{(2\pi\hbar)^3} \frac{4\pi}{3} p_F^3 \quad \leadsto \quad \frac{p_F}{2\pi\hbar} = \left(\frac{n}{2s+1} \frac{3}{4\pi} \right)^{1/3} \sim \frac{1}{d} \quad (d = \text{mittl. Teilchenabst.})$$

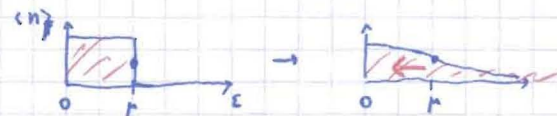
$$\underset{T \ll c_F}{U} = \frac{3}{5} N c_F \left(1 + \frac{5}{12} \frac{1}{\pi^2} \left(\frac{kT}{c_F} \right)^2 + \dots \right) \quad (\text{Sommafot})$$

Hochtemperatur - Bereich $kT \gg \epsilon_F$ ("Schwache Gasentartung")

Hier erwarten wir Übergang zu klassischem Verhalten (Boltzmann-gas).

Vermutung (s.u.):

$$\frac{\mu}{kT} \gg 1$$



Dann geht die Fermi-Dirac-Verteilung in die Boltzmann-Verteilung über:

$$n_F(\epsilon_F - \mu) \approx e^{-(\epsilon_F - \mu)/kT} \ll 1$$

Die Teilendichte wird

$$\begin{aligned} n &= \frac{N}{V} = (2s+1) \int d\epsilon D(\epsilon) e^{-(\epsilon - \mu)/kT} \\ &= \frac{2s+1}{V} \sum_F n_F(\epsilon_F - \mu) \end{aligned}$$

Für freie Elektronen in $D=3$ wissen wir

$$D(\varepsilon) = \frac{\sqrt{2m^3}}{2\pi^2 h^3} \sqrt{\varepsilon} =: C_3 \sqrt{\varepsilon},$$

damit

$$n = (2s+1) C_3 e^{\mu/kT} \int_0^\infty d\varepsilon \sqrt{\varepsilon} e^{-\varepsilon/kT} = \tilde{C}_3 e^{\mu/kT} (kT)^{3/2}$$

mit

$$\tilde{C}_3 = (2s+1) C_3 \int_0^\infty dx \sqrt{x} e^{-x} = (2s+1) C_3 \frac{\sqrt{\pi}}{2}$$

Die Gleichung für n lässt sich nach μ auflösen:

$$\mu(T) = kT \ln \frac{n}{\tilde{C}_3 (kT)^{3/2}} = kT \ln \left[\frac{4}{3\pi} \frac{\lambda_T^3}{\lambda_F^3} \right] = \frac{3}{2} kT \ln \frac{\varepsilon_F}{kT} + \text{const}$$

mit

$$\lambda_T = \left(\frac{2\pi k^2}{m kT} \right)^{1/2} \quad \text{thermische de-Broglie-Wellenlänge}$$

$$\lambda_F = 2\pi \hbar / p_F \quad \text{Fermi-Wellenlängen} \quad (\propto d : \text{mittl. Teilchenabstand})$$

Für $\lambda_T \ll \lambda_F$ (äquivalent $\varepsilon_F \ll kT$) folgt damit $-\mu \gg kT$.

Das tot. Potential ist:

$$\frac{\Omega}{V} = -kT \int^{(2s+1)} d\varepsilon D(\varepsilon) \ln \left(1 + e^{-(\varepsilon-\mu)/kT} \right) \approx -kT \int^{(2s+1)} d\varepsilon D(\varepsilon) e^{-(\varepsilon-\mu)/kT} = -kT n = -P$$

Damit:

$$\underline{PV = NkT}$$

(Das Fermi-Gas bei hoher Temp.
folgt der Zustandsgl. des klass. id. Gases!)

Aus Ω folgen weiter:

$$\Omega = -kTN = -kT \cdot N \tilde{C}_3 e^{\mu/kT} (kT)^{3/2} \quad \mu \text{ von oben}$$

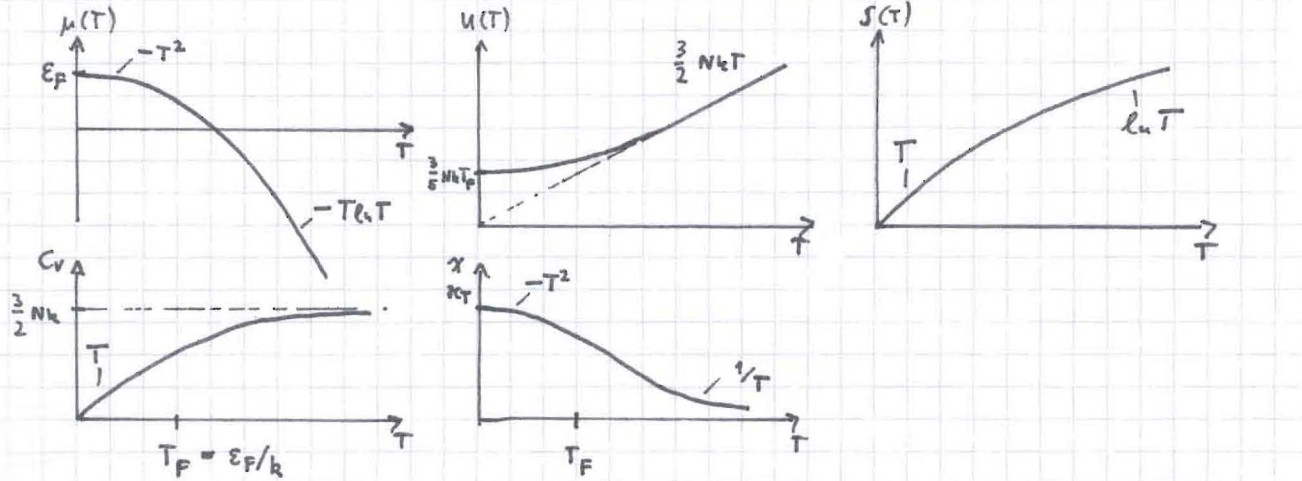
$$S \stackrel{\downarrow}{=} Nk \left(\frac{5}{2} - \frac{\mu}{kT} \right) = \frac{3}{2} Nk \ln \frac{kT}{\varepsilon_F} + \text{const}$$

$$U = \Omega + TS + \mu N = \frac{3}{2} NkT$$

$$C_V = \frac{3}{2} Nk$$

$$PV = NkT \quad \curvearrowright \quad \chi_T = \frac{1}{NkT} \quad \rightarrow \quad \frac{\partial n}{\partial \mu} = \frac{n}{kT}$$

$$\gamma = n \frac{\mu^2}{kT} \quad (\text{ohne Beweis})$$



Ein Fermi-Gas zeigt starke Abweichungen von klassischen Verhalten, wenn ($\hat{=}$ „Entartungskriterien“)

$$\underline{T \ll T_F = \frac{\epsilon_F}{k}} \quad \text{bzw} \quad \underline{\lambda_T \gg d} \quad \hat{=} \quad \underline{t_h^2 n^{2/3} \gg mkT}$$

Ein Fermi-Gas ist also entartet bei hohen Dichten, kleinen Massen, tiefen Temp!

Dies ist der Fall für Metallelektronen: $\epsilon_F \approx 5\text{eV}$, $T_F \approx 6 \cdot 10^4 \text{K}$; $U(300\text{K}) \approx 10^2 \text{NkT}$ (!)

Dagegen für ${}^3\text{He}$: $T_F \approx 1\text{K}$ \rightarrow klassisch bei 300K

Aus dem Kriterium $\lambda_T^3 = (2s+1)d^3$ kann man eine Entartungstemperatur definieren,

mit $\underline{T^* = \left(\frac{n}{2s+1}\right)^{2/3} \frac{2\pi\hbar^2}{mk}}$ ($T \gg T^*$ schwache Gasentartung)

Hauptanwendungen des Fermi-Gases sind Metallelektronen, ${}^3\text{He}$, Neutronengas.

Im Festkörper sind die Wechselwirkungen zwischen den Elektronen nicht klein; trotzdem verhalten sich Metallelektronen bei tiefen T in fast allen Beziehungen wie ein Fermi-Gas aus Quasiteilchen, mit schwacher Wechselwirkung $\hat{=}$ Fermi-Flüssigkeit (Landau)

Die Theorie der Fermi-Flüssigkeit beschreibt extrem erfolgreich fast alle Metalle.

In der modernen Festkörperphysik versucht man z.B. Abweichungen vom Fermi-Flüssigkeitsverhalten zu verstehen, die in einigen interessanten Materialien (z.B. Hochtemp.-Supraleitern) beobachtet werden: Nicht-Fermi-Flüssigkeiten.

4.7. Ideales Bose-Gas

Für ein Gas identischer, nicht wechselwirkender Bosonen, gekoppelt an ein Wärme- und Teilchenbad, lautet die groben:

Zustandssumme:

$$Z_G = S_p e^{-\beta(\hat{H} - \mu \hat{N})} = \prod_{\lambda} Z_{\lambda}$$

$$Z_{\lambda} = \sum_{n_{\lambda}=0}^{\infty} e^{-n_{\lambda}(\varepsilon_{\lambda} - \mu)/kT} = \frac{1}{1 - e^{-(\varepsilon_{\lambda} - \mu)/kT}}$$

Die Wahrscheinlichkeit dafür, dass das Niveau λ mit n_{λ} Teilchen besetzt ist, ist

$$g_{\lambda}(n_{\lambda}) = (1 - e^{-\beta(\varepsilon_{\lambda} - \mu)}) e^{-\beta n_{\lambda}(\varepsilon_{\lambda} - \mu)}$$

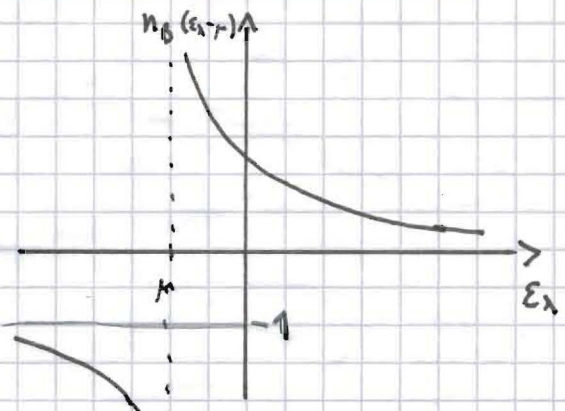
Die mittlere Besetzungszahl folgt

$$\langle n_{\lambda} \rangle^B = \sum_{n_{\lambda}} n_{\lambda} g_{\lambda}(n_{\lambda}) = \frac{-kT \frac{\partial}{\partial \varepsilon_{\lambda}} \ln Z_{\lambda}}{e^{(\varepsilon_{\lambda} - \mu)/kT} - 1} = n_B(\varepsilon_{\lambda} - \mu)$$

Mit $\varepsilon_{\lambda} \geq 0$ und der Forderung

$\langle n_{\lambda} \rangle \geq 0$ folgt für Bosonen:

$$\boxed{\mu \leq 0}$$



Aus der Zustandssumme folgt wie üblich die Thermodynamik:

$$\Omega = -kT \ln Z_G = kT \sum_{\lambda} \ln (1 - e^{-(\varepsilon_{\lambda} - \mu)/kT})$$

$$S = -\frac{\partial \Omega}{\partial T} = -\frac{\Omega}{T} + \sum_{\lambda} \frac{\varepsilon_{\lambda} - \mu}{T} n_B(\varepsilon_{\lambda} - \mu)$$

$$U = \Omega + TS + \mu N = \sum_{\lambda} \varepsilon_{\lambda} n_B(\varepsilon_{\lambda} - \mu)$$

$$N = -\frac{\partial \Omega}{\partial \mu} = \sum_{\lambda} n_B(\varepsilon_{\lambda} - \mu)$$

Hochtemperatur Bereich $\rightarrow \mu \gg kT$

Die mittlere Besetzungszahl geht über in:

$$n_B(\varepsilon_\lambda - \mu) = \langle n_\lambda \rangle \approx e^{-(\varepsilon_\lambda - \mu)/kT} \xrightarrow{\text{Boltzmann - gas}}$$

Wie für das ideale Fermigas (Abschnitt 4.6) im Hochtemp.-Limit
(in $D=3$)

gilt hier:

$$\mu(T) = 3kT \ln \left(\frac{\lambda_T}{a_0} \right) + \text{const} \quad (\text{für } \lambda_T \ll a_0)$$

wobei Teilchen mit Spm 0, Name m in $D=3$ Dimensionen, und

$$a_0 = n^{-1/3} \quad \text{mittlerer Teilchenabstand,}$$

$$\lambda_T = \left(\frac{2\pi \hbar^2}{mkT} \right)^{1/2} \quad \text{thermische de-Broglie-Wellenlänge}$$

betrachtet wurden. Analog zu Fermionen bei hohen Temperaturen
finden wir auch hier die Eigenschaften eines idealen Gases,

also $PV = NkT$ usw.

Tieftemperatur - Bereich $\lambda_T \gg a_0, kT \ll \frac{t_1^2}{ma_0^2}$

Es ist

$$n = \frac{N}{V} = \frac{1}{V} \sum_p \frac{1}{e^{(\varepsilon_p - \mu)/kT} - 1},$$

wobei wir wie oben freie Teilchen im Volumen L^D betrachten.

Wir schätzen zunächst die Anzahl der Teilchen in Zuständen mit

$$\varepsilon_p > 0 \text{ ab, wobei wir eine Zustandsdichte } D(\varepsilon) = C_3 \sqrt{\varepsilon} \text{ in } D=3$$

annehmen:

$$\int d\varepsilon N(\varepsilon) \frac{1}{e^{\beta(\varepsilon-\mu)} - 1} \leq \int d\varepsilon D(\varepsilon) \frac{1}{e^{\varepsilon/kT} - 1} \\ = \underbrace{C_3}_{1/\lambda_T^3} \underbrace{(kT)^{3/2}}_{2/\Gamma_D} \int_0^\infty dx \frac{\sqrt{x}}{e^x - 1}$$

Zeta-Fkt:

$$\zeta(x) = \sum_{k=1}^{\infty} \frac{1}{k^x} = \frac{1}{\lambda_T^3} \underbrace{\zeta(3/2)}_{2.612} \xrightarrow{T \rightarrow 0} 0 \quad (!)$$

In einem System mit Teilchenzahl Erhaltung muss folglich der tiefste Einteilchenzustand ($\varepsilon_p = 0$) $\Gamma^{\text{für } T < T_0}$ makroskopisch besetzt sein,

$$N_0 = \langle n_{\varepsilon_p=0} \rangle \propto V,$$

$$n = \frac{N}{V} = \frac{N_0}{V} + \frac{1}{\lambda_T^3} S^{(3/2)}$$

mit

$$n_0(T) = \frac{N_0(T)}{V} = n \left[1 - \left(\frac{a_0}{\lambda_T} \right)^3 S^{(3/2)} \right]$$

$$\left(\text{Ordnungsparameter } \frac{n_0(T)}{n} \right) =: n \left[1 - \left(\frac{T}{T_0} \right)^{3/2} \right], \quad T < T_0.$$

T_0 ist die Bose-Einstein-KondensationsTemperatur,

$$T_0 = \frac{1}{k} \underbrace{2\pi \left[S^{(3/2)} \right]^{-2/3}}_{3.31} \frac{\hbar^2}{m a_0} z, \quad a_0 = n^{-1/3}, \quad \mu = -kT/N_0$$

Makroskopische Beschreibung des ($\varepsilon_p = 0$) - Zustandes bedeutet $\mu = 0$;

für $T > T_0$ ist dagegen $\mu(T) < 0$.

Spezifische Wärme:

$$C_{VN} = \int_0^\infty d\varepsilon D(\varepsilon) \varepsilon \frac{\partial}{\partial T} n_0(\varepsilon - \mu)$$

$$\left(\frac{\partial \mu}{\partial T} \right)_{VN} = \frac{k}{4} \int_0^\infty d\varepsilon D(\varepsilon) \varepsilon \frac{1}{kT} \left[\frac{\varepsilon - \mu}{kT} + \frac{\partial \mu}{\partial (kT)} \right] \frac{1}{\sinh^2 \frac{\varepsilon - \mu}{kT}}$$

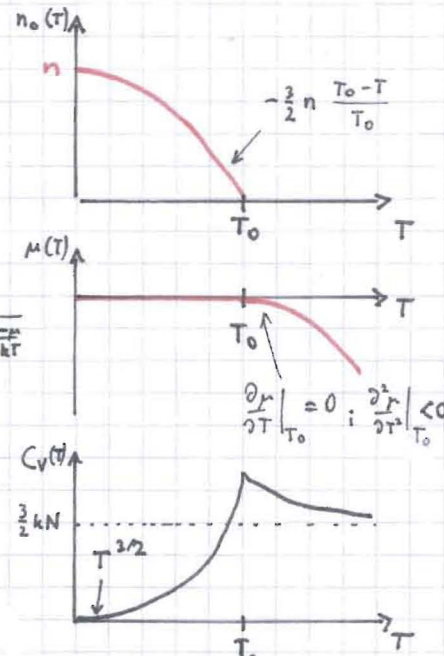
Wegen $\lim_{T \rightarrow T_0} \frac{\partial^2 \mu}{\partial T^2} < 0$ hat $\frac{\partial C_V}{\partial T}$ einen Sprung bei T_0 .

Die weiteren tol. Größen ergeben sich nach einigen Zwischen schritten:

$$\underline{\text{Entropie:}} \quad S = -\frac{5}{2} kV \int d\varepsilon D(\varepsilon) \ln \left(1 - e^{(\varepsilon - \mu)/kT} \right) - \frac{\mu N}{T}$$

in $D=3$

Daraus folgt insbesondere $S \propto T^{3/2}$ bei $T \rightarrow 0$ in Übereinstimmung mit dem dritten HS. Beachte: Die Entropie des Kondensats ist Null!



Innere Energie

$$U = \Omega + TS + \mu N = \frac{3}{2} kV\bar{T} \int d\varepsilon D(\varepsilon) \ln(1 - e^{-(\varepsilon-\mu)/kT})$$

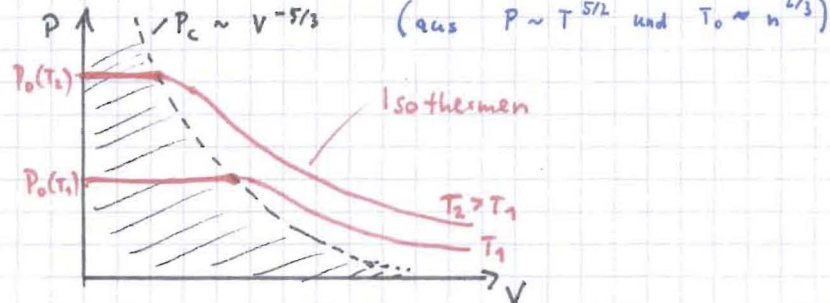
Druck

$$P = -\frac{\Omega}{V} = -k\bar{T} \int d\varepsilon D(\varepsilon) \ln(1 - e^{-(\varepsilon-\mu)/kT})$$

Für festes T steckt die einzige V -Abh. hier in μ ; damit

ist P für $T < T_0$ konstant! ($\mu \equiv 0$) (dam $\int d\varepsilon D(\varepsilon) \ln(1) \sim T^{-2/3}$)
 $(\Rightarrow \text{Kompressibilität} \rightarrow \infty)$

Das P - V -Phasendiagramm hat damit folgende Form (speziell $D=3$ und $D(\varepsilon) \propto \varepsilon^{1/2}$)



Die tot. Funktionen lassen sich kompakt schreiben mit Hilfe der thermischen de-Broglie-Wellenlänge λ_T :

$$\lambda_T^2 = \frac{2\pi\hbar^2}{mkT}, \quad \text{sowie} \quad \varepsilon_\lambda = \frac{p^2}{2m}$$

und den Funktionen (für $D=3$):

$$g_{5/2}(z) = -\frac{4}{\pi^2} \int_0^\infty dx x^2 \ln(1 - ze^{-x^2}) = \sum_{\ell=1}^{\infty} \frac{z^\ell}{\ell^{5/2}}$$

$$g_{3/2}(z) = z \frac{\partial}{\partial z} g_{5/2}(z) = \sum_{\ell=1}^{\infty} \frac{z^\ell}{\ell^{3/2}}; \quad z = e^{\beta\mu}$$

Fugosität

($z \rightarrow 1$ für $T < T_0$)

$$z = 1 - \frac{1}{N_0}$$

Man erhält:

$$\Omega = kT \ln(1 - z) - kT \frac{V}{\lambda_T^3} g_{5/2}(z),$$

$$U = \frac{3}{2} kT V \frac{1}{\lambda_T^3} g_{5/2}(z),$$

$$P = \frac{kT}{\lambda_T^3} g_{5/2}(z), \quad \text{mit } \langle N \rangle = \frac{z}{1-z} + \frac{V}{\lambda_T^3} g_{3/2}(z),$$

$$S = \frac{5}{2} k \frac{V}{\lambda_T^3} g_{5/2}(z) - k \langle N \rangle \ln z,$$



sowie

$$C_V = T \left(\frac{\partial S}{\partial T} \right)_{V,p} = \begin{cases} \frac{15}{4} k \frac{V}{\lambda^3(T)} g_{5/2}(z) - \frac{9}{4} k \langle N \rangle \frac{g_{3/2}(z)}{g_{1/2}(z)} & T > T_0 \\ \frac{15}{4} k \frac{V}{\lambda_T^3} g_{5/2}(z) & T < T_0 \end{cases}$$

(*) 4-31c

Bemerkungen:

- Das Auftreten von Bose-Einstein-Kondensation ist dimensionsabhängig!

Für $D = 1, 2$ divergiert das Teilchenzahl Integral für $\mu \rightarrow 0$, damit keine BEC!

$$\int d\varepsilon N(\varepsilon) n_B(\varepsilon - \mu) \xrightarrow{\mu \rightarrow 0} \begin{cases} \ln \mu & D=2, D(\varepsilon) = \text{const} \\ \frac{1}{T\mu} & D=1, D(\varepsilon) \sim 1/T\varepsilon \end{cases}$$

ist ein makroskopisches Quantenphänomen! Es

- Ein Bose-Einstein-Kondensat wird durch eine makroskopische Wellenfunktion beschrieben,

$$\psi = |\psi| e^{i\Theta}, \quad (\text{auch } \psi(\vec{r}))$$

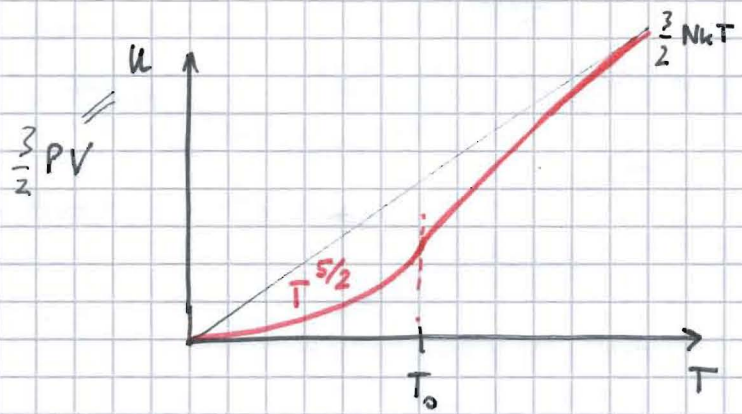
Zustände mit räumlich varierender Phase $\Theta(\vec{r})$ beschreiben Teilchenströme im Grundzustand (!) (d.h. Ströme im td. Gleichgewicht, die dissipationsfrei sind): "Suprastrom"

$$j_s = \int (\psi^* \hat{\vec{p}}_m \psi + h.c.) \sim \vec{\nabla} \Theta$$

(Zusammenhang mit Supraleitung in Metallen:

Supraleiter kann als Kondensat von Coopers-Paaren verstanden werden. Achtung: Diese Analogie ist nicht exakt, z.B. sind Cooper-Paare keine Bosonen.)

- I.A. ist Phasenstabilität das definierende Kriterium für BEC!



4.8. Photonen gas und Hohlraumstrahlung

Allgemein können Systeme harmonischer Oszillatoren als (nicht wechselwirkende) Bose-Systeme aufgefasst werden, mit der Analogie

Oszillatoren	Bosonen
Eigenschwingung λ	Einkettenzustand λ
Anregungszahl n_λ (Zahl der Quanten)	Beschleunigungszahl n_λ
$E = \sum_\lambda \hbar \omega_\lambda (n_\lambda + \frac{1}{2})$	$E = \sum_\lambda \varepsilon_\lambda n_\lambda$

Wichtiger Unterschied: Zahl der Oszillatorgrößen ist nicht erhalten! Folglich kann kein entsprechender Lagrange-Parameter eingeführt werden, d.h. für das chemische Potential gilt $\mu = 0$. (Damit ist auch klar, daß hier keine BEC eintreten kann, da für $T \rightarrow 0$ einfach die Teilchenzahl nach Null geht.)

Betrachten wir konkret das quantisierte elektromagnetische Feld in einem "Hohlraum" mit Volumen V . Die Lösungen der klassischen Maxwell-Gleichungen sind ebene Wellen

$$\vec{E}(\vec{r}, t) = \hat{e} E_0 e^{-i(\omega_t - \vec{k} \cdot \vec{r})}$$

mit Wellenzahl \vec{k} , Polarisationsvektor \hat{e} , und Dispersion $\omega_k = c/4l$. Für festes \vec{k} beschreibt die Wellengleichung einen harmonischen Oszillatator mit Frequenz ω_k :

$$\left(\frac{1}{c^2} \partial_t^2 - \vec{k}^2 \right) \vec{E}(\vec{r}, t) = 0 ; \quad (\partial_t^2 + \omega_k^2) \vec{E}_k(t) = 0$$

Quantisierung:

$$\varepsilon_{\vec{k}} = \hbar \omega_k = c |\vec{p}| , \quad \vec{p} = \hbar \vec{k}$$

Das elektromagnetische Feld ist also aufgebaut aus unabhängigen linearen Oszillatoren mit Quantenzahl

$$\lambda = (\vec{p}, s); \quad s = \pm 1 \quad (\text{transversal!})$$

jeder dieser Oszillatoren kann mit $n_{p,s}$ Quarken (Photonen) besetzt sein.

Das großbauswirksame tot. Potential lautet allgemein:

$$\begin{aligned} S_U(T, V, p=0) &= kT \sum_{p,s} \ln \left(1 - e^{-\epsilon_p/kT} \right) \\ &= kTV \int_0^\infty dw D(w) \ln \left(1 - e^{-hw/kT} \right) \end{aligned}$$

Die Zustandsdichte in $D=3$ Dimensionen für $w = c|k|$ ist

$$D(w) = \frac{1}{V} \sum_{p,s} \delta(w - \epsilon_p) = 2 \cdot \frac{4\pi p^2}{(2\pi\hbar)^3} \frac{t_i dk}{dw} = \frac{\omega^2}{\pi^2 c^3}$$

Damit

$$S_U = V \frac{(kT)^4}{\pi^2 (t_i c)^3} \underbrace{\int_0^\infty dx x^2 \ln(1 - e^{-x})}_{-\frac{\pi^4}{45}} = -\gamma V T^4$$

$$\gamma = \frac{\pi^2}{45} \frac{k^4}{(t_i c)^3}$$

Es ergeben sich:

$$\text{Entropie} \quad S = 4\gamma V T^3$$

$$\text{Spez. Wärme} \quad C_V = 12\gamma V T^3$$

$$\text{Strahlungsdruck} \quad P = \gamma T^4$$

$$\text{Innere Energie} \quad U = 3\gamma V T^4$$

Als "Hohlraumstrahler" wird üblicherweise ein solcher Hohlraum mit kleiner (!) Öffnung bezeichnet; dann ist klar, daß die abgestrahlte Leistung pro Fläche $\propto T^4$ ist (Stefan-Boltzmann-Gesetz).

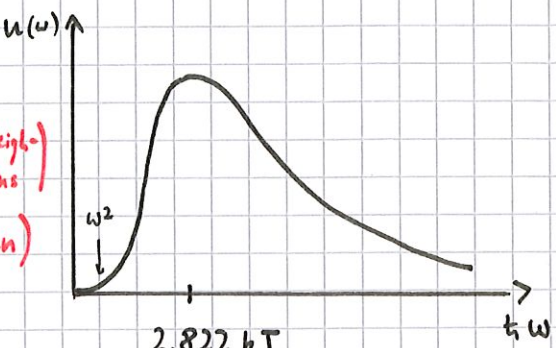
Betrachten wir die Strahlungsenergie pro Frequenzintervall $d\omega$, dann ergibt sich:

$$u(\omega, T) = \frac{dE_\omega}{d\omega} = V \mathcal{D}(\omega) t_\omega n_B(t_\omega) = V \frac{\hbar}{\pi^2 c^3} \frac{\omega^3}{e^{t_\omega \hbar \omega / kT} - 1}$$

Das ist das Plancksche Strahlungsgesetz (1900).

Grenzfälle:

$$u(\omega, T) = V \frac{\omega^2}{\pi^2 c^3} \begin{cases} \hbar T & t_\omega \ll \hbar T \\ t_\omega e^{-t_\omega \hbar \omega / kT} & t_\omega \gg \hbar T \end{cases} \begin{array}{l} (\text{Rayleigh-}) \\ (\text{Jeans}) \end{array} \quad \begin{array}{l} (\text{Wien}) \end{array}$$



Das Maximum $\sqrt{u(\omega)}$ liegt bei

$$t_\omega m = 2.822 \hbar T, \quad (\text{Wiensches Verschiebungsgesetz})$$

dies definiert eine "Farbtemperatur" für kontinuierliche Spektren.

4.9. Phononen

Auch bei den ~~und~~ Gitterschwingungen handelt es sich um ein System harmonischer Oszillatoren. Für N Atome ergeben sich $3N$

Schwingungsmoden, $E = \sum_{i=1}^{3N} \hbar \omega_i (n_i + \frac{1}{2})$

Einstein - Modell

In diesem vereinfachten Modell nehmen wir an, daß alle ω_i gleich sind,

$$\mathcal{D}(\omega) = \frac{3N}{V} \delta(\omega - \omega_E)$$

Es folgt direkt: $C_V \propto e^{-\hbar \omega_E / kT}$,

d.h. die Wärmekapazität verschwindet exponentiell für $T \rightarrow 0$;
dies ist typisch für Systeme mit Energielücke.

Debye - Modell

Wenn die Atom-Schwingungen gekoppelt sind, ergeben sich Normalschwingungen (siehe Mechanik) mit Dispersion $\omega(k)$,

wobei $k \in 1.$ Brillouinzone. Akustische

Phononen haben $\omega(k \rightarrow 0) \rightarrow 0$.

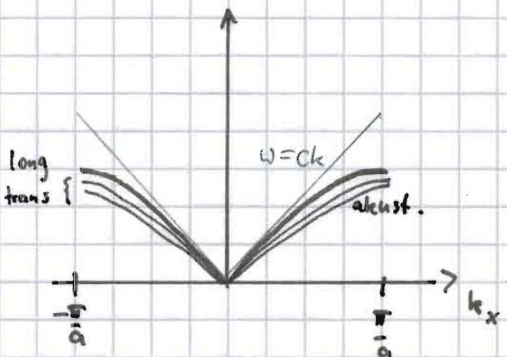
Es gibt 3 Polarisierungen λ (1 long., 2 transv.).

Im folgenden betrachten wir akustische Phononen

mit der Debye - Näherung:

- $\omega_{k\lambda} = c |k| \quad \text{für } 0 < \omega_{k\lambda} < \omega_D$

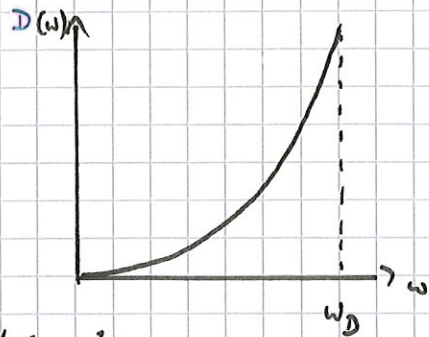
- Die 1. Brz wird durch eine Kugel gleichen Volumens erweitert.



Damit wird die Zustandsdichte:

$$\mathcal{D}(\omega) = \frac{1}{C^3} \frac{\omega^2}{2\pi^2} \Theta(\omega_D - \omega),$$

$\omega_D (= c k_D)$ Debye-Frequenz.



ω_D folgt aus der Forderung, genau $3N$ Oszillatoren zu

haben:

$$3N = V \sum_{\lambda} \int_0^{\omega_D} d\omega \mathcal{D}(\omega) \quad \rightsquigarrow \quad \omega_D = C \left(\frac{GN}{V} \pi^2 \right)^{1/3},$$

und es gilt

$$\mathcal{D}(\omega) = \frac{3N}{V} \frac{\omega^2}{\omega_D^3} \Theta(\omega_D - \omega)$$

Mit $t \omega_D = k \Theta_D$ kann man eine Debye-Temperatur einführen, typische Werte in Festkörpern sind $\Theta_D = 100 \dots 400 \text{ K}$.

Das td. Potentia ist nun:

$$\Omega(T, V) = 3V \int_0^{\omega_D} d\omega \mathcal{D}(\omega) \left(\frac{t\omega}{2} + kT \ln(1 - e^{-\beta t\omega}) \right)$$

Zur Auswertung: Debye-Funktion $\tilde{D}(x)$

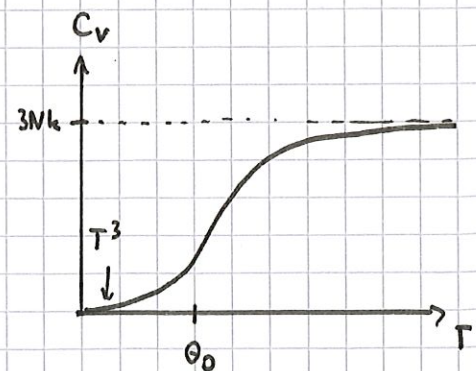
$$\tilde{D}(x) := \frac{3}{x^3} \int_0^x dt \frac{t^3}{e^t - 1} = \begin{cases} 1 - 3x/8 + x^2/20 & x \ll 1 \\ \frac{\pi^4}{5} x^3 + \dots & x \gg 1 \end{cases}$$

$$\Omega = \frac{9}{8} Nk \Theta_D - NkT \tilde{D}\left(\frac{\Theta_D}{T}\right) + 3kT \ln(1 - e^{-\beta \Theta_D})$$

$$U = 3NkT \tilde{D}\left(\frac{\Theta_D}{T}\right)$$

$$C_V = 3Nk \left(4\tilde{D}\left(\frac{\Theta_D}{T}\right) - 3 \frac{\Theta_D}{T} \frac{1}{e^{\Theta_D/T} - 1} \right)$$

\uparrow 3 kommt $\frac{1}{x^3}$ in \tilde{D}



Für $T \gg \Theta_D$ finden wir das klassische Resultat

$C_V = 3Nk$ **Dulong-Petit** dagegen gilt für $T \ll \Theta_D$:

$$C_V = \frac{12}{5} \pi^4 Nk \frac{T^3}{\Theta_D^3}.$$

(Wärmekapazität in Festkörpern)
(Metalle: elektr. Beitrag $C_V \sim T$)